

$p = 0,5$   $\beta_* = 0,533$ . Контрольные расчеты с  $M = 7$ ,  $N = 3$  в. (18) показали, что изменения в  $\beta_*$  не превышают 3%. Зависимость  $\beta_* = \beta_*(\alpha, p)$  при  $p = 1$  представлена на рис. 1 линией 2, для продолжения которой в область с  $\alpha < 0,4$  требуется большее число гармоник.

Подобное же вырождение пространственных решений в плоские с удвоенным волновым числом обнаружены в [15] для уравнения, описывающего поведение возмущений на пленке при  $Re \leq 1$ .

Зависимость для волн второго типа при  $\alpha = 0,47$  дана кривой 3 на рис. 5. При продвижении в глубь области неустойчивости у них в отличие от волн первого типа «высокие» гармоники  $H_{3n}$  нарастают заметно быстрее, и уже для расчета волн с  $\beta \leq 0,45$  число гармоник нужно увеличивать. Можно сказать, что волны второго типа более нелинейны, чем первого.

#### ЛИТЕРАТУРА

1. Chia-Shun Yih. Stability of liquid flow down on inclined plane.— Phys. Fluids, 1963, v. 6, N 3.
2. Накоряков В. Е., Покусаев Б. Г., Алексеенко С. В. Стационарные двумерные катящиеся волны на вертикальной пленке жидкости.— ИФЖ, 1976, т. 30, № 5.
3. Алексеенко С. В., Накоряков В. Е., Покусаев Б. Г. Волны на поверхности вертикально стекающей пленки жидкости. Препринт 36—79.— Новосибирск: ИТФ СО АН СССР, 1979.
4. Шкадов В. Я. Волновые режимы течения тонкого слоя вязкой жидкости под действием силы тяжести.— Изв. АН СССР. МЖГ, 1967, № 1.
5. Демехин Е. А., Токарев Г. Ю., Дятлова Г. А. Численное моделирование нестационарных двумерных волн в стекающем слое вязкой жидкости.— В кн.: Современные проблемы теплофизики. Новосибирск: ИТФ СО АН СССР, 1984.
6. Демехин Е. А., Шкадов В. Я. О нестационарных волнах в слое вязкой жидкости.— Изв. АН СССР. МЖГ, 1981, № 3.
7. Бунов А. В., Демехин Е. А., Шкадов В. Я. О неединственности нелинейных волновых решений в вязком слое.— ПММ, 1984, т. 48, вып. 4.
8. Трифонов Ю. Я., Цвелодуб О. Ю. Нелинейные волны на поверхности пленки жидкости, стекающей по вертикальной стенке.— ПМТФ, 1985, № 5.
9. Демехин Е. А., Шкадов В. Я. Режимы двумерных волн тонкого слоя вязкой жидкости.— Изв. АН СССР. МЖГ, 1985, № 3.
10. Трифонов Ю. Я., Цвелодуб О. Ю. Волновые режимы в стекающих пленках жидкости.— В кн.: Гидродинамика и тепломассообмен течений жидкости со свободной поверхностью. Новосибирск: ИТФ СО АН СССР, 1985.
11. Демехин Е. А., Шкадов В. Я. О трехмерных нестационарных волнах в стекающей пленке жидкости.— Изв. АН СССР. МЖГ, 1984, № 5.
12. Накоряков В. Е., Покусаев Б. Г. и др. Мгновенный профиль скорости в волновой пленке жидкости.— ИФЖ, 1977, т. 33, № 3.
13. Гешев П. И., Ездин Б. С. Расчет профиля скорости и формы волны на стекающей пленке жидкости.— В кн.: Гидродинамика и тепломассообмен течений жидкости со свободной поверхностью. Новосибирск: ИТФ СО АН СССР, 1985.
14. Найфе Л. Х. Методы возмущений.— М.: Мир, 1976.
15. Непомнящий А. А. Трехмерные пространственно-периодические движения в пленке жидкости, стекающей по вертикальной плоскости.— Гидродинамика, 1974, вып. 7.

Поступила 25/X 1985 г.

УДК 532.522 + 532.135

#### ИЗГИБНЫЕ ВОЗМУЩЕНИЯ СВОБОДНЫХ СТРУЙ ЖИДКОСТЕЙ МАКСВЕЛЛА И ДОИ — ЭДВАРДСА

A. L. Ярин

(Москва)

Изгибные возмущения высокоскоростных свободных струй капельных жидкостей, движущихся в воздухе, усиливаются вследствие того, что давление воздуха на вогнутых участках поверхности струй больше, чем на выпуклых. В случае вязких ньютоновских жидкостей линейная и нелинейная стадии роста изгиблых возмущений изучены в [1—5]. Влияние упругих напряжений в жидкости на рост изгиблых возмущений струй впервые рассмотрено в [6], где в рамках анализа роста малых возмущений полагалось, что вдоль струи имеется постоянное и неизменное натяжение, т. е. фактически исследовалась натянутая струна. В [7, 8] изучалась линейная стадия роста изгиблых возмущений струй максвелловских жидкостей.

Цель данной работы — анализ динамики длинноволновых изгибных возмущений струй упруговязких жидкостей как на линейной, так и на нелинейной стадии роста. Реологическое поведение жидкости описывается с помощью двух моделей — феноменологической (Максвелла) и молекулярно-физической (Дои — Эдвардса). Показано, что на нелинейной стадии роста возмущений имеет колебательный характер, причем результаты расчетов с использованием реологических моделей Максвелла (М) и Дои—Эдвардса (ДЭ) в данной задаче совпадают между собой не только качественно, но и количественно.

1. Рассмотрим свободную струю капельной жидкости, движущуюся со скоростью  $U_0$  в воздухе. В невозмущенном состоянии ось струи прямая, а сечение — круг радиуса  $a_0$ . Плотности жидкости и воздуха обозначим  $\rho$  и  $\rho_1$ , а коэффициент поверхностного натяжения жидкости —  $\sigma$ . Жидкость считается упруговязкой. Связь девиатора тензора напряжений  $\sigma'$  с кинематическими и геометрическими параметрами определяется, как обычно, реологическим уравнением состояния. Из большого числа известных в литературе реологических уравнений состояния для концентрированных систем выберем два наиболее ясных по своему физическому смыслу. Первое из них — реологическое уравнение Максвелла — определяет девиатор тензора напряжений в виде [9]

$$(1.1) \quad \sigma'(t) = \frac{\mu}{\theta^2} \int_{-\infty}^t d\tau \exp\left(-\frac{t-\tau}{\theta}\right) [\mathbf{B}_\tau(t) - \mathbf{g}]_I$$

где  $\mu$  — вязкость при нулевой скорости сдвига;  $\theta$  — время релаксации ( $\mu/\theta$  — модуль упругости);  $\mathbf{B}_\tau(t)$  — тензор Грина, отвечающий деформации от конфигурации в момент  $\tau$  к конфигурации в момент  $t$ ;  $\mathbf{g}$  — метрический тензор.

Физический смысл уравнения (1.1) ясен: оно описывает эффекты экспоненциально затухающей памяти жидкости, уменьшающие упругие напряжения в ней. Соотношение (1.1) записано для простейшего случая одного времени релаксации.

Второе реологическое уравнение состояния, описывающее поведение концентрированных растворов и расплавов полимеров, получено Дои и Эдвардсом [10] в рамках молекулярной физики. Оно учитывает наличие топологических ограничений — соседних макромолекул, которые фактически окружают данную макромолекулу в виде трубки, оставляя ей возможность лишь для рептационной диффузии. Уравнение ДЭ имеет вид [10, 11]

$$(1.2) \quad \sigma'(t) = \sum_{j_{\text{неч}}=1}^{\infty} \sigma'_j(t) = G_0 \cdot \sum_{j_{\text{неч}}=1}^{\infty} \frac{8}{\pi^2 j^2 \theta_j} \int_{-\infty}^t d\tau \exp\left(-\frac{t-\tau}{\theta_j}\right) \times \\ \times \int \frac{d^2 \mathbf{u}_0}{4\pi} \left\{ \frac{[\mathbf{F}_\tau(t) \cdot \mathbf{u}_0] [\mathbf{F}_\tau(t) \cdot \mathbf{u}_0]}{|\mathbf{F}_\tau(t) \cdot \mathbf{u}_0|^2} - \frac{\mathbf{g}}{3} \right\}, \quad \mu = \frac{\pi^2}{60} G_0 \theta_1.$$

Здесь суммирование ведется по нечетным  $j$ ;  $\mathbf{u}_0$  — случайно ориентированный в пространстве орт ( $\int d^2 \mathbf{u}_0$  обозначает осреднение по всевозможным направлениям  $\mathbf{u}_0$ );  $\mathbf{F}_\tau(t)$  — тензор градиента деформации из конфигурации в момент  $\tau$  в конфигурацию в момент  $t$ . Модуль упругости жидкости  $G_0$  и спектр времен релаксации  $\theta_j$  вычисляются с помощью молекулярных параметров [10]. Все молекулярные характеристики, входящие в модель ДЭ, в настоящее время определены для ряда систем экспериментально, а предсказания модели для стандартных реологических течений удовлетворительно согласуются с экспериментальными данными [11–13]. Уравнение (1.2) получено для характерных времен  $t_0 \gg \theta_1$  и скоростей деформаций  $\sim \theta_1^{-1}$ ; если  $t_0 \ll \theta_1$  или скорости деформаций много больше  $\theta_1^{-1}$ , то уравнение (1.2) неверно, и необходимо учитывать детали «быстрых» релаксационных процессов [14]. Значения характерного времени, при которых справедливо уравнение (1.2), приблизительно лежат в диапазоне

не  $t_0 \geqslant 0,01-0,1$  с для растворов полибутадиена и полистирола с концентрациями  $\sim 10-30\%$ .

2. Как известно [15], струи упруговязких жидкостей могут иметь продольное натяжение (вообще говоря, релаксирующее). Чтобы учесть возможное существование продольного натяжения в изгибающейся струе, будем считать, что в общем случае в предыстории ( $-\infty \leqslant \tau \leqslant t$  ( $t > 0$ )) наряду с ростом изгибных возмущений струя растягивалась вдоль своей оси при  $-\infty \leqslant \tau \leqslant 0$ . Следовательно, при  $t > 0$  будем иметь изгиб струи с продольным натяжением. Тензор градиента деформации

$$(2.1) \quad \mathbf{F}_\tau(t) = \mathbf{F}_\tau^*(t) \cdot \mathbf{F}_\tau^0(t).$$

Здесь и далее звездочкой отмечены тензоры, описывающие изгибную деформацию, а нулем — деформацию осевого растяжения.

При  $t > 0$

$$(2.2) \quad \mathbf{F}_\tau^0(t) = \mathbf{F}_\tau^0(0), \quad \tau < 0; \quad \mathbf{F}_\tau^0(t) = \mathbf{g}, \quad \tau > 0.$$

Тензор Грина с учетом (2.1) представляем в виде

$$(2.3) \quad \mathbf{B}_\tau(t) = \mathbf{F}_\tau(t) \cdot \mathbf{F}_\tau^T(t) = \mathbf{F}_\tau^*(t) \cdot \mathbf{B}_\tau^0(t) \cdot \mathbf{F}_\tau^{*T}(t).$$

С помощью (2.2) получаем из (2.3) при  $t > 0$

$$(2.4) \quad \begin{aligned} \mathbf{B}_\tau(t) &= \mathbf{F}_\tau^*(t) \cdot \mathbf{B}_\tau^0(0) \cdot \mathbf{F}_\tau^{*T}(t), \quad \tau < 0; \\ \mathbf{B}_\tau(t) &= \mathbf{F}_\tau^*(t) \cdot \mathbf{F}_\tau^{*T}(t) = \mathbf{B}_\tau^*(t), \quad \tau > 0. \end{aligned}$$

Подставляя (2.4) в (1.1), имеем при  $t > 0$

$$(2.5) \quad \begin{aligned} \sigma'(t) &= \frac{\mu}{\theta^2} \int_{-\infty}^0 d\tau \exp\left(-\frac{t-\tau}{\theta}\right) [\mathbf{F}_\tau^*(t) \cdot \mathbf{B}_\tau^0(0) \cdot \mathbf{F}_\tau^{*T}(t) - \mathbf{g}] + \\ &\quad + \frac{\mu}{\theta^2} \int_0^t d\tau \exp\left(-\frac{t-\tau}{\theta}\right) [\mathbf{B}_\tau^*(t) - \mathbf{g}]. \end{aligned}$$

Выделим при  $t > 0$ ,  $\tau < 0$  в изгибном тензоре градиента деформации часть  $\mathbf{A}_\tau(t)$ , обусловленную ростом изгибных возмущений. Соответственно находим

$$(2.6) \quad \mathbf{F}_\tau^*(t) = \mathbf{g} + \mathbf{A}_\tau(t), \quad \mathbf{B}_\tau^*(t) - \mathbf{g} = \mathbf{A}_\tau(t) + \mathbf{A}_\tau^T(t) + \mathbf{A}_\tau(t) \cdot \mathbf{A}_\tau^T(t).$$

Следовательно, с помощью первого равенства (2.6) получаем

$$(2.7) \quad \begin{aligned} &\int_{-\infty}^0 d\tau \exp\left(-\frac{t-\tau}{\theta}\right) [\mathbf{F}_\tau^*(0) \cdot \mathbf{B}_\tau^0(0) \cdot \mathbf{F}_\tau^{*T}(t) - \mathbf{g}] = \\ &= \int_{-\infty}^0 d\tau \exp\left(-\frac{t-\tau}{\theta}\right) \{[\mathbf{B}_\tau^0(0) - \mathbf{g}] + \mathbf{A}_\tau(t) \cdot [\mathbf{B}_\tau^0(0) - \mathbf{g}] + \\ &+ [\mathbf{B}_\tau^0(0) - \mathbf{g}] \cdot \mathbf{A}_\tau^T(t) + \mathbf{A}_\tau(t) \cdot [\mathbf{B}_\tau^0(0) - \mathbf{g}] \cdot \mathbf{A}_\tau^T(t) + \mathbf{A}_\tau(t) + \mathbf{A}_\tau^T(t) + \\ &+ \mathbf{A}_\tau(t) \cdot \mathbf{A}_\tau^T(t)\}. \end{aligned}$$

Поэтому с учетом (2.7) и второго соотношения (2.6) преобразуем выражение для напряжений (2.5) к виду

$$(2.8) \quad \begin{aligned} \sigma'(t) &= \frac{\mu}{\theta^2} \int_{-\infty}^0 d\tau \exp\left(-\frac{t-\tau}{\theta}\right) \{[\mathbf{B}_\tau^0(0) - \mathbf{g}] + \mathbf{A}_\tau(t) \cdot [\mathbf{B}_\tau^0(0) - \mathbf{g}] + \\ &+ [\mathbf{B}_\tau^0(0) - \mathbf{g}] \cdot \mathbf{A}_\tau^T(t) + \mathbf{A}_\tau(t) \cdot [\mathbf{B}_\tau^0(0) - \mathbf{g}] \cdot \mathbf{A}_\tau^T(t)\} + \\ &+ \frac{\mu}{\theta^2} \int_{-\infty}^t d\tau \exp\left(-\frac{t-\tau}{\theta}\right) [\mathbf{B}_\tau^*(t) - \mathbf{g}], \end{aligned}$$

где первый интеграл описывает вклад осевого растяжения струи в девиаторные напряжения в ней. Поскольку изгибные деформации в длинноволновом пределе достаточно малы, для того чтобы пренебречь компонентами тензора  $A_\tau(t)$  в сравнении с единицей, из (2.8) получаем

$$(2.9) \quad \sigma'(t) = \sigma'^0(t) + \sigma'^*(t) = -\frac{\mu}{\theta^2} \int_{-\infty}^0 d\tau \exp\left(-\frac{t-\tau}{\theta}\right) [B_\tau^0(0) - g] + \\ + \frac{\mu}{\theta^2} \int_{-\infty}^t d\tau \exp\left(-\frac{t-\tau}{\theta}\right) [B_\tau^*(t) - g].$$

Таким образом, в соответствии с (2.9) девиаторные напряжения могут быть представлены при  $t > 0$  в виде суммы релаксирующего предварительно-го напряжения  $\sigma'^0(t)$  и чисто изгибной составляющей, описываемой интегральным слагаемым:

$$(2.10) \quad \sigma'(t) = \sigma'^0(t) + \frac{\mu}{\theta^2} \int_{-\infty}^t d\tau \exp\left(-\frac{t-\tau}{\theta}\right) [B_\tau^*(t) - g], \\ \sigma'^0(t) = \exp(-t/\theta) \sigma'^0(0).$$

Аналогичное рассмотрение для жидкости ДЭ (1.2) приводит к выражению

$$(2.11) \quad \sigma'(t) = \sigma'^0(t) + G_0 \sum_{j_{\text{неч}}=1}^{\infty} \frac{8}{\pi^2 j^2 \theta_j} \int_{-\infty}^t d\tau \exp\left(-\frac{t-\tau}{\theta_j}\right) \times \\ \times \int \frac{d^2 u_0}{4\pi} \left\{ \frac{[F_\tau^*(t) \cdot u_0] [F_\tau^*(t) \cdot u_0]}{|F_\tau^*(t) \cdot u_0|^2} - \frac{g}{3} \right\}, \\ \sigma'^0(t) = G_0 \sum_{j_{\text{неч}}=1}^{\infty} \frac{8}{\pi^2 j^2 \theta_j} \int_{-\infty}^0 d\tau \exp\left(-\frac{t-\tau}{\theta_j}\right) \times \\ \times \int \frac{d^2 u_0}{4\pi} \left\{ \frac{[F_\tau^0(0) \cdot u_0] [F_\tau^0(0) \cdot u_0]}{|F_\tau^0(0) \cdot u_0|^2} - \frac{g}{3} \right\} = \sum_{j_{\text{неч}}=1}^{\infty} \sigma'^0_j(0) \exp(-t/\theta_j).$$

Тензор напряжений в упруговязкой жидкости, как обычно, представляется в виде  $\sigma = -pg + \sigma'$ , где  $p$  — давление.

3. Динамику роста длинноволновых возмущений будем исследовать, как и в [1, 3], исходя из энергетического баланса. Плоское изгибное возмущение оси струи в пренебрежении трением о воздух и лобовым сопротивлением можно приближенно представить в виде

$$(3.1) \quad H = A(t) \sin(\chi s/a_0),$$

пока амплитуда  $A(t)$  не слишком велика. Приняты обозначения:  $\chi$  — безразмерное волновое число ( $\chi = 2\pi a_0/l_1$ ,  $l_1$  — длина волны возмущения);  $s$  — координата, отсчитываемая вдоль оси невозмущенной струи. Ось  $s$  «вморожена» в движущуюся невозмущенную струю.

Работа аэродинамической «подъемной» силы [1, 3, 5], ведущей к росту изгибных возмущений, расходуется на приращение кинетической и поверхностной энергий и работу внутренних сил. Энергетический баланс составляется для отрезка струи  $0 \leq s \leq \pi a_0/\chi$ . Выражения для работы  $L$  аэродинамической силы за время  $dt$ , приращений кинетической  $\Delta E$  и поверхностной  $\Delta E_1$  энергий, не зависящие, очевидно, от реологического поведения жидкости, даются результатами [1, 3]

$$(3.2) \quad L = \rho_1 U_0^2 f_0 A' A \frac{\pi \chi}{2 a_0} dt, \quad \Delta E = \rho f_0 A'' A' \frac{\pi a_0}{2 \chi} dt, \quad \Delta E_1 = \pi^2 \alpha A A' \frac{\ddot{\chi}}{2} dt,$$

где  $f_0 = \pi a_0^2$  — площадь сечения невозмущенной струи; штрихами отмечены производные по  $t$ .

Остается вычислить определяемую реологическим поведением жидкости работу внутренних сил в выделенном элементе струи за время  $dt$  [1, 3]:

$$(3.3) \quad L_1 = \left\{ \int_0^{\pi a_0/\chi} \left[ \int_{D_1} (\sigma_{ll} D_{ll} + \sigma_{nn} D_{nn} + \sigma_{bb} D_{bb}) (1 - ky) dS \right] \lambda ds \right\} dt.$$

Здесь  $\sigma_{ll}$ ,  $\sigma_{nn}$ ,  $\sigma_{bb}$  — компоненты тензора напряжений  $\sigma$  (индекс  $l$  отвечает орту касательной к оси изгибающейся струи  $\mathbf{l}$ ,  $n$  — орту нормали  $\mathbf{n}$ ,  $b$  — орту бинормали  $\mathbf{b}$ );  $D_{ll}$ ,  $D_{nn}$ ,  $D_{bb}$  — компоненты тензора скоростей изгибных деформаций  $\mathbf{D}$ ;  $k$  — кривизна оси струи,  $k = -H_{ss}/(1 + H_{ss}^2)^{3/2}$ ; координата  $y$  отсчитывается от центра сечения струи  $D_1$  по нормали;  $\lambda = (1 + H_{ss}^2)^{1/2}$ .

В длинноволновом пределе ( $\chi < 1$ ), согласно [1, 3],

$$(3.4) \quad D_{ll} = \lambda^{-1} \lambda_{,t} - ky\omega_{,t}/\omega, \quad D_{nn} = D_{bb} = -D_{ll}/2, \quad \omega = -H_{ss} ds/(1 + H_{ss}^2).$$

Легко видеть, что в струе

$$(3.5) \quad \sigma_{ll} D_{ll} + \sigma_{nn} D_{nn} + \sigma_{bb} D_{bb} = D_{ll} (\sigma'_{ll} - \sigma'_{nn}).$$

Чтобы вычислить интеграл в (3.3) с учетом реологии упруговязкой жидкости (2.10) или (2.11), необходимо определить тензор  $\mathbf{F}_\tau^*(t)$ , удовлетворяющий дифференциальному уравнению

$$(3.6) \quad \frac{d\mathbf{F}_\tau^*(t)}{dt} = \nabla \mathbf{v}(t) \cdot \mathbf{F}_\tau^*(t)$$

с начальным условием  $\mathbf{F}_\tau^*(\tau) = \mathbf{g}$ .

Как показано в [1, 5], в пренебрежении трением о воздух на поверхности свободной струи высоковязкой капельной жидкости в случае длинноволновых возмущений напряжения  $\sigma_{nl}$  и  $\sigma_{bl}$  в струе пренебрежимо малы в сравнении с осевым напряжением  $\sigma_{ll}$ :  $\sigma_{nl} = O(\epsilon \sigma_{ll})$ ,  $\sigma_{bl} = O(\epsilon \sigma_{ll})$ ,  $\epsilon \sim a_0/l_1 \ll 1$ . Малость напряжений  $\sigma_{nl}$  и  $\sigma_{bl}$  указывает на то, что жидкое сечение струи остается плоским при ее изгибе. Кроме того, следствием граничных условий для напряжений на поверхности струи является равенство  $\sigma_{nn} = \sigma_{bb}$  в струе, которое указывает на то, что деформация жидкого сечения в основном изотропна. Поэтому жидкий диск, мысленно вырезанный из струи кругового сечения, при ее изгибе поворачивается и растягивается вдоль оси струи, сохраняя круговое сечение. Эта картина не меняется с ростом амплитуды возмущений до тех пор, пока сохраняется длинноволнистый характер движения и на струе не возникают локально участки большой кривизны, что имеет место лишь для очень больших амплитуд возмущений [1]. Все это позволяет считать, что росту как бесконечно малых, так и конечных длинноволновых изгибных возмущений струй высоковязких жидкостей, движущихся в воздухе, отвечает в системе отсчета, связанной с осью струи, ее одноосное растяжение. Поэтому в базисе  $\mathbf{n}$ ,  $\mathbf{b}$ ,  $\mathbf{l}$  тензоры  $\mathbf{F}_\tau^*(t)$ ,  $\nabla \mathbf{v}$  и  $\mathbf{D}$  диагональны. Соответственно можем представить тензор  $\mathbf{F}_\tau^*(t)$  (как  $\nabla \mathbf{v}$  и  $\mathbf{D}$ ) в виде  $\mathbf{F}_\tau^*(t) = \mathbf{I} f_{ll} + (\mathbf{n}\mathbf{n} + \mathbf{b}\mathbf{b}) f_{nn}$  и, кроме того, в силу диагональности считать  $\nabla \mathbf{v} = \mathbf{D}$ . Поэтому интегрируя (3.6) с учетом (3.4) и (3.5), находим компоненты тензора  $\mathbf{F}_\tau^*(t)$ :

$$(3.7) \quad f_{ll} = 1 + y \frac{\partial^2}{\partial s^2} [H(s, t) - H(s, \tau)] + \frac{1}{2} \left\{ \left[ \frac{\partial H(s, t)}{\partial s} \right]^2 - \left[ \frac{\partial H(s, \tau)}{\partial s} \right]^2 \right\} + \\ + \frac{y^2}{2} \left[ \frac{\partial^2 H(s, t)}{\partial s^2} - \frac{\partial^2 H(s, \tau)}{\partial s^2} \right]^2 + \left( \frac{\chi}{a_0} \right)^2 \sin^2 \left( \frac{\chi s}{a_0} \right) \times \\ \times \left[ \frac{A^2(t) + A^2(\tau)}{2} - A(t) A(\tau) \right] + O(A^3),$$

$$f_{nn} = 1 - \frac{y}{2} \frac{\partial^2}{\partial s^2} [H(s, t) - H(s, \tau)] - \frac{1}{4} \left\{ \left[ \frac{\partial H(s, t)}{\partial s} \right]^2 - \left[ \frac{\partial H(s, \tau)}{\partial s} \right]^2 \right\} + \frac{y^2}{8} \left[ \frac{\partial^2 H(s, t)}{\partial s^2} - \frac{\partial^2 H(s, \tau)}{\partial s^2} \right]^2 - \frac{1}{2} \left( \frac{\chi}{a_0} \right)^2 \sin^2 \left( \frac{\chi s}{a_0} \right) \left[ \frac{A^2(t) + A^2(\tau)}{2} - A(t)A(\tau) \right] + O(A^3).$$

Отметим, что при интегрировании (3.6) с достаточной для дальнейшего точностью считалось

$$\frac{d\mathbf{F}_\tau^*(t)}{dt} = \mathbf{II} \frac{\partial f_{ll}}{\partial t} + (\mathbf{nn} + \mathbf{bb}) \frac{\partial f_{nn}}{\partial t} + v_n \frac{\partial}{\partial y} [\mathbf{II} f_{ll} + (\mathbf{nn} + \mathbf{bb}) f_{nn}], v_n = \frac{\partial H}{\partial t}.$$

Вычисляя с помощью (3.7) тензор Грина для изгиба  $\mathbf{B}_\tau^*(t) = \mathbf{F}_\tau^*(t) \cdot \mathbf{F}_\tau^{*\top}(t)$  и подставляя его в (2.10), определим необходимую для вычисления  $L_1$  разность компонент девиатора тензора напряжений для максвелловской жидкости:

$$(3.8) \quad \sigma'_{ll} - \sigma'_{nn} = \sigma_0 + \frac{\mu}{\theta} \left\{ -3y \left( \frac{\chi}{a_0} \right)^2 \sin \left( \frac{\chi s}{a_0} \right) [A(t) - \psi_1(t)] + \frac{3}{2} \left( \frac{\chi}{a_0} \right)^2 \cos^2 \left( \frac{\chi s}{a_0} \right) [A^2(t) - \psi_2(t)] + \frac{3}{2} \left( \frac{\chi}{a_0} \right)^4 y^2 \sin^2 \left( \frac{\chi s}{a_0} \right) \times \times [A^2(t) - 2A(t)\psi_1(t) + \psi_2(t)] + \frac{3}{2} \left( \frac{\chi}{a_0} \right)^2 \sin^2 \left( \frac{\chi s}{a_0} \right) [A^2(t) - 2A(t)\psi_1(t) + \psi_2(t)] \right\} + O(A^3);$$

где

$$(3.9) \quad \begin{aligned} \psi_1(t) &= \theta^{-1} \int_{-\infty}^t d\tau \exp \left( -\frac{t-\tau}{\theta} \right) A(\tau), \quad \psi_2(t) = \\ &= \theta^{-1} \int_{-\infty}^t d\tau \exp \left( -\frac{t-\tau}{\theta} \right) A^2(\tau), \end{aligned}$$

а  $\sigma_0 = \sigma'_{ll} - \sigma'_{nn}$  характеризует начальное натяжение струи.

Подставляя (3.4), (3.5) и (3.8) в (3.3) и выполняя интегрирование с учетом (3.1), имеем

$$(3.10) \quad \begin{aligned} L_1 &= \left\{ \sigma_0 \frac{\chi}{a_0} AA' \frac{\pi}{2} f_0 + \frac{3\mu}{\theta} I_0 \left( \frac{\chi}{a_0} \right)^3 \frac{\pi}{2} A'(A - \psi_1) + \right. \\ &\quad \left. + \frac{\mu}{\theta} f_0 \frac{3}{2} \left( \frac{\chi}{a_0} \right)^3 AA' \pi \left[ \frac{3}{8} (A^2 - \psi_2) + \frac{1}{8} (A^2 - 2A\psi_1 + \psi_2) \right] \right\} dt, \\ I_0 &= \pi a_0^4 / 4. \end{aligned}$$

Члены более высоких порядков малости по амплитуде возмущений, а также по толщине струи (длинноволновое приближение, тонкая струя) опущены.

Составляя с помощью (3.2) и (3.10) баланс энергии  $L = \Delta E + \Delta E_1 + L_1$ , получаем уравнение для амплитуды возмущения  $A(t)$ :

$$(3.11) \quad A'' + \frac{3}{4} \frac{\mu}{\rho a_0^2} \chi^4 \frac{Y_1}{\theta} + \frac{3}{4} \frac{\mu}{\rho a_0^4} \chi^4 \frac{A(AY_1 + Y_2)}{\theta} + A\chi^2 \left[ \frac{\alpha}{\rho a_0^3} - \frac{\rho_1 U_0^2}{\rho a_0^2} + \frac{\sigma_0(t)}{\rho a_0^2} \right] = 0,$$

$$\sigma_0(t) = [\sigma'_{ll}(0) - \sigma'_{nn}(0)] \exp(-t/\theta),$$

Входящие в (3.11) функции  $Y_1(t) = A - \psi_1$  и  $Y_2(t) = A^2 - \psi_2$  с учетом (3.9) определяются при интегрировании совместно с (3.11) дифференциальных уравнений:

$$(3.12) \quad Y'_1 = A' - Y_1/\theta, \quad Y'_2 = 2AA' - Y_2/\theta.$$

Отметим, что если не делать упрощения, ведущего к переходу от (2.8) к (2.9), а использовать непосредственно (2.8), то в уравнении (3.11) вместо слагаемого  $W_1 = A\chi^2\sigma_0(t)/(\rho a_0^2)$  будем иметь  $W_2 = A\chi^2\sigma_0(t)[1 + \Phi(A)/(\rho a_0^2)]$ ,  $\Phi(A) \leq O(A)$ , что, казалось бы, может внести изменения в результаты расчета нелинейной стадии изгиба, когда имеется обусловленное начальным продольным натяжением струи напряжение  $\sigma_0(t) \neq 0$ . Однако, как следует из [1, 3–5], а также из результатов расчетов, обсуждаемых в п. 4, нелинейные эффекты будут существенны только по истечении времени, превосходящего время релаксации напряжения  $\sigma_0(t)$ , когда  $W_1$  и  $W_2$  практически равны нулю. Это оправдывает переход от (2.8) к (2.9) при получении нелинейного по амплитуде  $A$  уравнения (3.11).

Проводя аналогичные вычисления для жидкости ДЭ, с помощью (2.11), (3.1), (3.4), (3.5) и (3.7) находим

$$(3.13) \quad A'' + \frac{6}{5\pi^2} \frac{G_0 \chi^4}{\rho a_0^2} \sum_{j_{\text{неч}}=1}^{\infty} \frac{Y_{1j}}{j^2} + \frac{6}{5\pi^2} \frac{G_0 \chi^4}{\rho a_0^2} A \sum_{j_{\text{неч}}=1}^{\infty} \frac{AY_{1j} + Y_{2j}}{j^2} + \\ + A\chi^2 \left[ \frac{\alpha}{\rho a_0^2} - \frac{\rho_1 U_0^2}{\rho a_0^2} + \frac{\sigma_0(t)}{\rho a_0^2} \right] = 0, \\ Y'_{1j} = A' - Y_{1j}/\theta_j, \quad Y'_{2j} = 2AA' - Y_{2j}/\theta_j,$$

где

$$(3.14) \quad Y_{1j} = A - \theta_j^{-1} \int_{-\infty}^t d\tau \exp\left(-\frac{t-\tau}{\theta_j}\right) A(\tau), \\ Y_{2j} = A^2 - \theta_j^{-1} \int_{-\infty}^t d\tau \exp\left(-\frac{t-\tau}{\theta_j}\right) A^2(\tau), \\ \sigma_0(t) = \sum_{j_{\text{неч}}=1}^{\infty} [\sigma'_{jll}(0) - \sigma'_{jnn}(0)] \exp(-t/\theta_j).$$

4. Прежде всего рассмотрим малые возмущения, когда нелинейными по амплитуде  $A$  членами в (3.11) и (3.13) (третий слагаемый  $O(A^3)$ ) можно пренебречь. В этом случае  $A = A_0 \exp(\gamma t)$  ( $\gamma$  — инкремент,  $A_0$  — амплитуда изгибного возмущения при  $t = 0$ ). Кроме того,

$$(4.1) \quad Y_1 = \gamma\theta A/(1 + \gamma\theta), \quad Y_2 = 2\gamma\theta A^2/(1 + 2\gamma\theta),$$

и для максвелловской жидкости с помощью (3.11) и (3.12) получаем характеристическое уравнение

$$(4.2) \quad \gamma^2 + \frac{3}{4} \frac{\mu \chi^4}{\rho a_0^2(1 + \gamma\theta)} \gamma + \chi^2 \left( \frac{\alpha}{\rho a_0^2} - \frac{\rho_1 U_0^2}{\rho a_0^2} + \frac{\sigma_0}{\rho a_0^2} \right) = 0.$$

При этом считается, что начальное натяжение в струе либо отсутствует ( $\sigma_0 = 0$ ), либо «заморожено» и  $\sigma_0 = \text{const} \neq 0$ .

Уравнение (4.2) обобщает характеристическое уравнение для ньютона-вязкой жидкости [1, 3] с  $\theta = 0$  на случай упруговязкого максвелловского реологического поведения. Оно предсказывает (при  $\sigma_0 = 0$ ) ускорение роста малых изгибных возмущений струи максвелловской жидкости в сравнении с сопоставимой струей ньютона-вязкой жидкости ( $\rho$ ,  $\mu$ ,  $a_0$ ,  $\alpha$ ,  $U_0 = \text{idem}$ ) вследствие падения эффективной вязкости  $\mu_e = \mu/(1 + \gamma\theta)$ . Начальное натяжение  $\sigma_0 > 0$  — стабилизирующий фактор, замедляющий рост возмущений (уменьшается величина  $\gamma > 0$ ) или вообще препятствующий росту изгибных возмущений при  $(\sigma_0 + \alpha/a_0) > > \rho_1 U_0^2$ , когда  $\text{Re}\{\gamma\} < 0$ . Результат работы [6], в которой струя представлялась в виде натянутой струны, в длинноволновом пределе преобразуется к уравнению (4.2) с  $\mu = \alpha = 0$ .

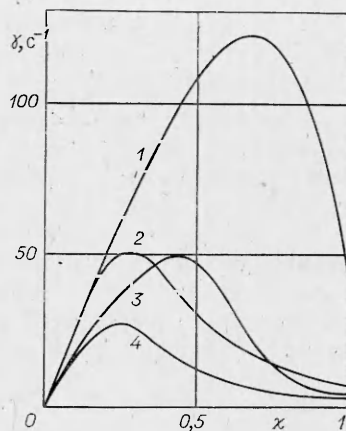


Рис. 1

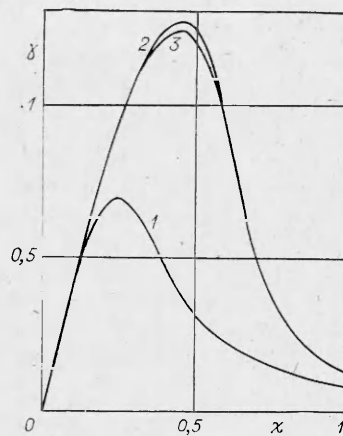


Рис. 2

Решение задачи об изгибе струи максвелловской жидкости в потоке воздуха зависит от восьми параметров, имеющих три независимые размерности:  $\mu$ ,  $\rho$ ,  $a_0$ ,  $\alpha$ ,  $\rho_1$ ,  $U_0$ ,  $\theta$ ,  $\sigma_0$ . Следовательно, в соответствии с л-теоремой теории размерностей решение определяется пятью критериями подобия:

$$(4.3) \quad \Pi_1 = \frac{\rho_1}{\rho}, \quad \Pi_2 = \frac{\mu^2}{\rho a_0^2 \rho_1 U_0^2}, \quad \Pi_3 = \frac{\rho_1 U_0^2}{\mu \theta}, \\ \Pi_4 = \frac{\sigma_0}{\rho_1 U_0^2}, \quad \Pi_5 = \frac{\alpha}{\rho_1 U_0^2 a_0}.$$

На рис. 1 представлены зависимости  $\gamma(\chi)$ , рассчитанные с помощью уравнения (4.2) при следующих значениях параметров: для всех кривых  $\Pi_1 = 10^{-3}$ ,  $\Pi_4 = 0$ ; для 1 и 2 —  $\Pi_2 = 0,156 \cdot 10^4$ ,  $\Pi_5 = 0,94 \cdot 10^{-3}$ ; 3 и 4 —  $\Pi_2 = 0,4 \cdot 10^4$ ,  $\Pi_5 = 2,4 \cdot 10^{-3}$ ; 2 и 4 —  $\Pi_3 = 0$ ; 1 и 3 —  $\Pi_3 = 0,64$ ,  $\Pi_3 = 0,25$ . Линии 1 и 3 отвечают двум струям максвелловской жидкости, отличающимся скоростью, большей в первом случае, 2 и 4 — соответствующим 1 и 3 результатам для ньютоновской жидкости. Сравнение рис. 1 данной работы с рис. 4 работы [8] (отвечают одним и тем же значениям параметров) приводит к заметному расхождению. Так, инкремент  $\gamma_{max}$  для кривой 1 приблизительно на 30% больше по расчету данной работы, чем в [8]. Это, по-видимому, позволяет оценить погрешность, вносимую упрощениями характеристического уравнения в [8], в результате которых его порядок по  $\gamma$  понижен до второго. Безразмерная зависимость  $\gamma(\chi)$ , определяемая характеристическим уравнением (4.2) для максвелловской жидкости с  $\Pi_1 = 10^{-3}$ ,  $\Pi_2 = 0,4 \cdot 10^4$ ,  $\Pi_3 = 0,25$ ,  $\Pi_4 = \Pi_5 = 0$ , представлена на рис. 2 линией 2, а 1 — для соответствующей струи ньютоновской жидкости ( $\Pi_1$ ,  $\Pi_2$ ,  $\Pi_4$ ,  $\Pi_5$  — idem,  $\Pi_3 = 0$ ). Инкремент отнесен к вводимой далее величине  $T^{-1}$ .

Характеристическое уравнение для малых изгибных возмущений струи жидкости ДЭ, когда  $A = A_0 \exp(\gamma t)$ ,

$$(4.4) \quad Y_{1j} = \gamma \theta_j A / (1 + \gamma \theta_j), \quad Y_{2j} = 2 \gamma \theta_j A^2 / (1 + 2 \gamma \theta_j),$$

получается из (3.13) с  $\sigma_0 = \text{const}$  в виде

$$(4.5) \quad \gamma^2 + \frac{6}{5\pi^2} \frac{\sigma_0 \chi^4}{\rho a_0^2} \gamma \sum_{j_{\text{неq}}=1}^{\infty} \frac{\theta_j}{(1 + \gamma \theta_j)^2} + \chi^2 \left( \frac{\alpha}{\rho a_0^2} - \frac{\rho_1 U_0^2}{\rho a_0^2} + \frac{\sigma_0}{\rho a_0^2} \right) = 0.$$

С учетом второго соотношения (1.2) критериями подобия будут по-прежнему  $\Pi_1$  —  $\Pi_5$  из (4.3), к которым добавятся критерии, определяющие отношения между собой времен релаксационного спектра  $\Pi_m = \theta_k / \theta_p$ . На рис. 2 кривой 3 показана зависимость  $\gamma = \gamma(\chi)$ , рассчитанная как ре-

решение характеристического уравнения (4.5) для тех же значений критерия  $\Pi_1 - \Pi_5$ , что у кривой 2 и пяти мод релаксации ( $j = 1, 3, 5, 7, 9$ ). Изменение числа мод в расчете весьма слабо влияет на результат. Фактически зависимость  $\gamma = \gamma(\chi)$ , предсказываемая характеристическим уравнением (4.5) для струи жидкости ДЭ, совпадает с результатом, полученным при решении уравнения (4.2) для струи максвелловской жидкости с теми же значениями  $\Pi_1 - \Pi_5$ .

Отметим, что в силу (4.5) начальное напряжение  $\sigma_0 > 0$ , как и для струи максвелловской жидкости, замедляет рост малых изгибных возмущений, а при  $(\sigma_0 + \alpha/a_0) > \rho_1 U_0^2$  струя полностью стабилизируется.

Перейдем к анализу роста достаточно больших изгибных возмущений, когда нелинейные по амплитуде  $A$  члены в уравнениях (3.11) и (3.13) (третьи слагаемые) существенны. В случае максвелловской жидкости необходимо численно проинтегрировать систему (3.11) и (3.12) с начальными условиями

$$(4.6) \quad t = 0, \quad A = A_0, \quad A' = A_0 \gamma_*, \quad Y_1 = \gamma_* A_0 / (1 + \gamma_* \theta), \\ Y_2 = 2\gamma_* \theta A_0^2 / (1 + 2\gamma_* \theta).$$

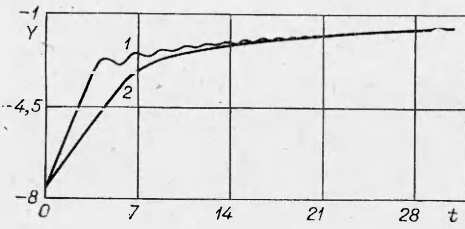
В (4.6) значение инкремента  $\gamma_*$  соответствует максимальному  $\gamma_{\max}$ , определяемому характеристическим уравнением (4.2). Поэтому в расчете нелинейной эволюции изгибных возмущений полагается  $\chi = \chi_*$ , где значение безразмерного волнового числа  $\chi_*$  отвечает  $\gamma_{\max}$ :  $\gamma_* = \gamma_{\max} = \gamma(\chi_*)$ . Условия (4.6) отвечают первоначально малым возмущениям, так что начальные условия для функций  $Y_1$  и  $Y_2$  определяются с помощью (4.1).

Результаты расчета для струи максвелловской жидкости с  $\Pi_1 = 10^{-3}$ ,  $\Pi_2 = 0,4 \cdot 10^4$ ,  $\Pi_3 = 0,25$ ,  $\Pi_4 = \Pi_5 = 0$  представлены на рис. 3 кривой 1, а 2 — для соответствующей струи ньютоновской жидкости ( $\Pi_3 = 0$ ). На этом и последующих рисунках амплитуда изгибающегося возмущения струи упруговязкой жидкости  $H_{\max} = A$  отнесена к длине волны возмущения  $l_{1*} = 2\pi a_0 / \chi_*$ , а время — к  $T = (\mu a_0^2)^{1/3} / (\rho_1 U_0^2 - \alpha/a_0)^{2/3}$ ;  $Y = \ln(H_{\max}/l_{1*})$ . Для ньютоновской жидкости амплитуда возмущения

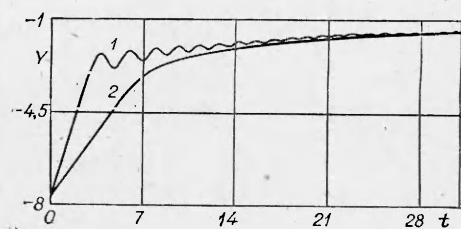
$$H_{\max} \text{ отнесена к длине волны возмущения } l_{2*} = 2\pi a_0 / \chi_* = 2\pi a_0 \left[ \left( \frac{8}{3} \frac{\rho a_0^2}{\mu^2} \times \right. \right. \\ \left. \left. \times (\rho_1 U_0^2 - \alpha/a_0) \right]^{1/6} [1, 4, 5]; \quad Y = \ln(H_{\max}/l_{2*}). \right. \quad \text{В соответствии с данными рис. 1 и 2 } l_{2*} > l_{1*}. \quad \text{Отличие значений } Y \text{ при фиксированном } t \text{ для упруговязкой и ньютоновской жидкостей на рис. 3, очевидно, обусловлено не разницей в масштабах } l_{2*} \text{ и } l_{1*}, \text{ а различной скоростью роста малых возмущений. В расчетах полагалось } A_0/l_{1*} = 5 \cdot 10^{-4}, A_0/l_{2*} = 5 \cdot 10^{-4}.$$

Из рис. 3 следует, что в случае упруговязкой максвелловской жидкости в отличие от монотонного (замедляющегося напряжениями, связанными с нелинейным эффектом — удлинением оси струи) роста изгибных возмущений струи ньютоновской жидкости наблюдается новый нелинейный эффект — колебания амплитуды возмущений. Эти колебания, из-за которых амплитуда возмущений в определенные промежутки времени уменьшается, обусловлены конкуренцией инерционной и упругой сил. Изгибающийся элемент струи проскаивает из-за своей инерции «равновесное» положение, ось струи дополнительно удлиняется (следствие конечной величины возмущений, на линейной стадии длина оси струи постоянна), что ведет к появлению дополнительной упругой силы вдоль элемента струи, стремящейся сократить его длину. Поэтому начинается обратный процесс: сокращение длины элемента, уменьшение амплитуды изгибающегося возмущения, новый проскок «равновесного» положения из-за инерции и т. д. Вязкая диссипация постепенно поглощает энергию этих колебаний.

Именно таким механизмом, по-видимому, объясняются и колебания поверхности прямолинейной струи максвелловской жидкости при капилляре.



Р и с. 3



Р и с. 4

лярном распаде, наблюдаемые в расчетах [16], а также осцилляции в решениях других нестационарных задач динамики упруговязких жидкостей при учете их инерции.

При расчете роста изгибных возмущений конечной амплитуды струи жидкости ДЭ для системы уравнений (3.13) ставятся с учетом (4.4) начальные условия

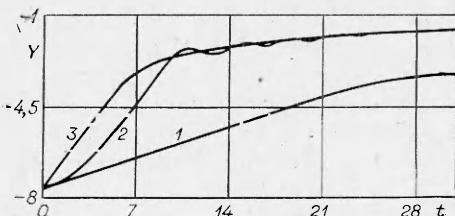
$$(4.7) \quad t = 0, A = A_0, A' = A_0 \gamma_* Y_{1j} = \gamma_* \theta_j A_0 / (1 + \gamma_* \theta_j), \\ Y_{2j} = 2\gamma_* \theta_j A_0^2 / (1 + 2\gamma_* \theta_j).$$

В условиях (4.7) инкремент  $\gamma_*$ , как и значение  $\chi = \chi_*$  в (3.13), определяется наиболее быстро растущим малым возмущением, т. е. соответствует  $\gamma_* = \gamma_{\max}(\chi_*)$  в решении характеристического уравнения (4.5). Результаты расчета для струи жидкости ДЭ с  $\Pi_1 = 10^{-3}$ ,  $\Pi_2 = 0,4 \cdot 10^4$ ,  $\Pi_3 = 0,25$ ,  $\Pi_4 = \Pi_5 = 0$  и пятью модами в спектре релаксации практически совпадают с кривой 1 рис. 3. На рис. 4 линией 1 представлены совпадающие между собой результаты расчета для струй жидкостей М и ДЭ ( $j = 1, \dots, 9$ ) с  $\Pi_1 = 10^{-3}$ ,  $\Pi_2 = 0,156 \cdot 10^4$ ,  $\Pi_3 = 0,64$ ,  $\Pi_4 = \Pi_5 = 0$ , а 2 — для соответствующей струи ньютоновской жидкости ( $\Pi_3 = 0$ ).

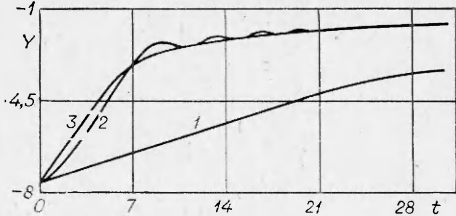
Расчеты с использованием реологических моделей М и ДЭ показывают, что колебания, сопровождающие нелинейную стадию роста изгибных возмущений, усиливаются с увеличением критерия подобия  $\Pi_3$  при сохранении неизменными  $\Pi_i$  ( $i \neq 3$ ). Поскольку увеличение  $\Pi_3$  эквивалентно уменьшению модуля упругости жидкости, с увеличением  $\Pi_3$  растет «податливость» жидкости и облегчается инерционный проскок положения «равновесия».

Использование модели ДЭ, игнорирующей детали «быстрых» релаксационных процессов, оправдано данными рис. 3 и 4, если  $t_0 \simeq 20T \geq \theta_1$ , а также  $\gamma \sim \theta_1^{-1}$ , что в этом случае выполняется.

На рис. 5 приведены результаты для жидкости М с теми же значениями параметров  $\Pi_1 — \Pi_3$ ,  $\Pi_5$ , что и для рис. 3, но с начальным натяжением  $\sigma_0(0) = \rho_1 U_0^2 / 1,1$ . Рассмотрены два варианта: начальное напряжение «заморожено» и остается постоянным в процессе изгиба струи (кривая 1), и начальное натяжение релаксирует в соответствии со вторым равенством (3.11) (кривая 2); 3 — результаты для соответствующей струи ньютоновской жидкости. Сравнение линий 1 и 2 между собой и с 1 рис. 3 иллюстрирует стабилизирующую роль продольного натяжения в процессе роста возмущений. Естественно, в случае «замороженности» значения  $\sigma_0$  в процессе роста возмущений стабилизирующее влияние продольного натяжения струи значительнее.



Р и с. 5



Р и с. 6

Результаты, отвечающие струе жидкости ДЭ (значения  $\Pi_1 - \Pi_5$ ,  $\Pi_5$  те же, что для рис. 3, учитывалось пять релаксационных мод) с  $\sigma_0(0) = \rho_1 U_0^2 / 1,1$ , показаны на рис. 6, где линия 1, полученная для  $\sigma_0 = \text{const}$ , практически совпадает с 1 рис. 5, 2 отвечает релаксации начального напряжения в соответствии с третьим равенством (3.14) и, естественно, отличается от 2 рис. 5, поскольку релаксация начального напряжения в струях жидкостей М (одномодовая модель) и ДЭ (многомодовая модель) идет по-разному; 3 — результаты для соответствующей струи ньютоновской жидкости.

#### ЛИТЕРАТУРА

1. Ентов В. М., Ярин А. Л. Динамика струй капельной жидкости. Препринт ИПМ АН СССР, 1979, № 127.
2. Ентов В. М., Ярин А. Л. Поперечная устойчивость струи капельной жидкости во встречном потоке воздуха. — ИФЖ, 1980, т. 38, № 5.
3. Ярин А. Л. Динамика изгибных возмущений струй нелинейно-вязких жидкостей, движущихся в воздухе. — ПМТФ, 1982, № 1.
4. Ярин А. Л. Численное исследование изгибной неустойчивости тонких струй капельных жидкостей. — ПМТФ, 1982, № 4.
5. Entov V. M., Yarin A. L. The dynamics of thin liquid jets in air. — J. Fluid Mech., 1984, v. 140.
6. Debye P., Daen J. Stability considerations of nonviscous jets exhibiting surface or body tension. — Phys. Fluids, 1959, v. 2, N 4.
7. Шульман З. П., Хусид Б. М. О распаде вязкоупругой струи. — В кн.: Тепло- и массоперенос: физические основы и методы исследований. Минск, 1979.
8. Хусид Б. М. Распад свободной струи вязкоупругой жидкости. — ПМТФ, 1982, № 1.
9. Астарита Дж., Марруччи Дж. Основы гидромеханики неньютоновских жидкостей. — М.: Мир, 1978.
10. Doi M., Edwards S. F. Dynamics of concentrated polymer systems. Part 3 — The constitutive equation. — J. Chem. Soc. Faraday Trans., 1978, pt 2, v. 74, N 10.
11. Doi M., Edwards S. F. Dynamics of concentrated polymer systems. Part 4 — Rheological properties. — J. Chem. Soc. Faraday Trans., 1979, pt 2, v. 75, N 1.
12. Graessley W. W. Some phenomenological consequences of the Doi — Edwards theory of viscoelasticity. — J. Polym. Sci., Polym. Phys. Ed., 1980, v. 18, N 1.
13. Menezes E. V., Graessley W. W. Nonlinear rheological behaviour of polymer systems for several shear-flow histories. — J. Polym. Sci., Polym. Phys. Ed., 1982, v. 20, N 10.
14. Doi M., Edwards S. F. Dynamics of concentrated polymer systems. Part 2 — Molecular motion under flow. — J. Chem. Soc. Faraday Trans., 1978, pt 2, v. 74, N 10.
15. Ентов В. М. Об устойчивости капиллярных струй упруговязких жидкостей. — ИФЖ, 1978, т. 34, № 2.
16. Ентов В. М., Кордонский В. И. и др. Исследование распада струй реологически сложных жидкостей. Препринт Ин-та тепло- и массообмена АН БССР, 1980, № 2.

Поступила 14/X 1985 г.

УДК 536.253 + 532.529

#### К ВОПРОСУ О ФИЗИЧЕСКОМ МОДЕЛИРОВАНИИ ТУРБУЛЕНТНЫХ ТЕРМИКОВ

Ю. А. Гостинцев, Ю. С. Матвеев, В. Е. Небогатов,

А. Ф. Солововник

(Москва)

Для исследования процессов атмосферной конвекции, разработки безопасных методов эксплуатации и хранения взрывоопасных и токсичных смесей, ряда экологических проблем необходимо изучение нестационарных конвективных течений, возникающих при подъеме массы легкого газа в поле гравитационных сил (термиков). Наибольший с практической точки зрения интерес представляют крупномасштабные турбулентные течения, общая сложность изучения которых обусловлена ограниченной возможностью получения непосредственных экспериментальных данных. В связи с этим особое значение приобретает изучение законов моделирования турбулентных термиков.